外眼筋の機械的特性に関する研究

第2報 ボッリヌス毒素注入外眼筋における受動的伸長一張力特性

岡野正樹

岡山大学医学部眼科学教室

要 約

ボツリヌス A 型毒素の外眼筋におよぼす影響を検討するために、白色家兎の上直筋に本毒素を注射した。毒素注射後3日から4週目に、外眼筋張力測定装置を用いて眼球付着部で切り離した上直筋の伸長一張力曲線を連続的に記録した。本装置は著者が開発したもので受動的に引き伸ばされた外眼筋の張力を測定するひずみゲージと、小型モーターと連動し変位量を検出するポテンショメーターからなる。毒素注入群の粘弾性抵抗は対照群に比べて1週目で有意に小さかったが、2週目、3週目では逆に大きかった。毒素注入群の伸長性は対照群に比べて3週目で有意に小さかった。(日眼会誌 97:150—155, 1993)

キーワード:ボツリヌス毒素、伸長一張力曲線、上直筋、粘弾性抵抗、伸長性

Passive Length-Tension Curves of Extraocular Muscles after Botulinum Toxin Injection

Masaki Okano

Department of Ophthalmology, Okayama University Medical School

Abstract

Botulinum A toxin was injected into the superior rectus muscles of albino rabbits. Length-tension curves of detached superior rectus muscles were continuously measured with a length and tension measuring device developed by the author. The device consists of a strain gauge for measuring passive length-tension, and a position encoder equipped with an eddy current motor. The passive load of the muscle injected with Botulinum A toxin was significantly less than that of control muscle a week after the injection, however, it was greater than that of control muscle in 2 or 3 weeks after the injection. The compliance of the treated muscle was significantly less than that of control muscle at 3 weeks after the injection. (J Jpn Ophthalmol Soc 97: 150—155, 1993)

Key words: Botulinum toxin, Length-tension curve, Superior rectus muscle, Passive load, Compliance

I 緒 言

近年、斜視治療において神経毒であるボッリヌス A

型毒素を外眼筋に注射し、眼位矯正に応用しようという試みが行われつつある。しかしながら、従来の報告例1¹~7¹では臨床的な効果判定に終始するものが多く、

別刷請求先:700 岡山市鹿田町 2-5-1 岡山大学医学部眼科学教室 岡野 正樹 (平成 4 年 5 月 27 日受付,平成 4 年 7 月 27 日改訂受理)

Reprint requests to: Masaki Okano, M.D. Department of Ophthalmology, Okayama University Medical

School. 2-5-1 Shikata-cho, Okayama 700, Japan

(Received May 27, 1992 and accepted in revised form July 27, 1992)

目的とする外眼筋単独に与える影響については、その作用機序を含めて未だ明らかではない。著者は外眼筋を眼球付着部で切り離した後、小型モーターで牽引することにより、外眼筋単独の伸長一張力特性を定量的に測定する方法を考案し先に発表した80.今回、この測定装置を用いてボッリヌスA型毒素を白色家兎の外眼筋に注射した場合の張力変化を経時的に記録し、外眼筋におよぼす影響を定量的に検討したので報告する。

II 実験方法

1. 実験材料

実験動物には成熟白色家兎(体重 2.1~4.5 kg)25 匹を用いた。

2. 実験手順

1) ボツリヌス毒素の注射

押田式家兎固定器 (KN-317, 夏目製作所) に家兎を固定し、2%リドカインで点眼麻酔および上、下眼瞼に浸潤麻酔を行った。眼球をわずかに下転させ、直視下にて1眼の上直筋にボッリヌスA型毒素 (Oculinum) を5単位 (0.1 ml) 経結膜的に注射した。他眼の上直筋には生理食塩水を同量注射し対照とした。毒素注射後3日、1週、2週、3週、4週目に各5匹ずつ張力測定を行った。

2) 伸長一張力曲線の記録

剃毛した耳静脈に22ゲージの静脈用カテーテル(エ

ラスター針)を留置し耳静脈を確保した後、麻酔薬としてベントバルビタールナトリウム 20 mg/kg を約 3 分かけて静注した。家兎固定台に伏臥位にて四肢および頭部を十分に固定した後、眼球結膜を角膜輪部近くで切開し上直筋を露出させた。上直筋を周囲組織から十分に剝離、4-0 シルク糸を斜視手術の要領で眼筋の先端部にかけた後、眼球付着部で切断した。4-0 シルク糸(3.0 cm)はケプラート糸(27.0 cm を介して外眼筋張力測定装置に接続し、張力 0 g から最大張力 40 g に達するまで低速度(0.2 mm/sec)で牽引した後、再び張力 0 g に戻るまでの伸長一張力曲線を記録した。なお、再現性を確かめるために測定は 2 g 繰り返した。

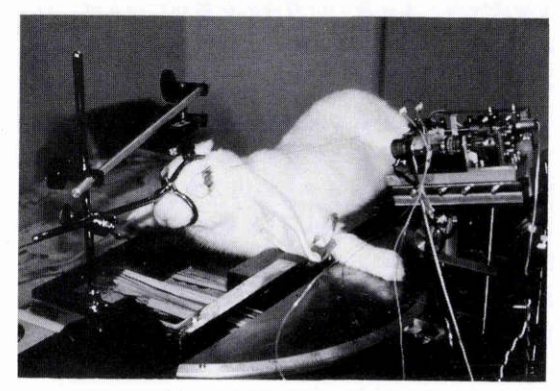


図1 実際の測定の様子.

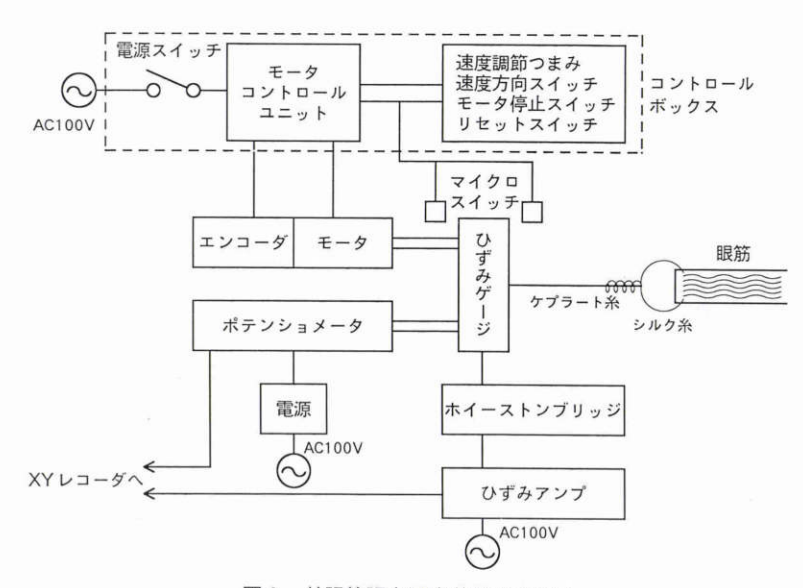


図2 外眼筋張力測定装置の系統図.

3. 測定装置の概要

本実験で使用した外眼筋張力測定装置は、著者が三 菱電機と共同で開発したもので本体、固定台、制御部 および X-Y レコーダーからなる、実際の測定の様子 を図1に、系統図を図2に示す、眼筋の張力はシルク 糸および瞬間接着剤で固めたケプラート糸を介して, 本体上のりん青銅板に伝えられる。このりん青銅板に は直線性の優れたひずみゲージが取り付けられてお り、高い精度で張力を測定できる。また、遊星ギアー 内蔵の DC サーボモーター (ハーモニックドライブシ ステムズ RH-5)が回転することにより、りん青銅板は 前後方向に移動し眼筋を牽引するという仕組みであ る. 安全のため設定変位量を超えると自動的にモー ターが停止するようマイクロスイッチを設けてある. 家兎固定台と本装置の位置決めを最初に行えば, 以後 眼球を中心に常に半径30cmの円周上を装置は動き、 上下の角度も自由に可変できるよう工夫されているた め、周囲組織の影響を受けず本来の筋の作用方向と同 一方向に牽引することが可能である。 りん青銅板と連 動するポテンショメーターの出力を X-Y レコーダー (グラフテック WX 1100) の X 軸に、ひずみゲージの 出力をひずみアンプ (共和電業 DPM 611-A) で増幅し た後Y軸に入力し実時間で伸長一張力曲線の記録を 行った.

4. 記錄解析

伸長一張力曲線は張力0gから最大張力に達するまで牽引している間の伸長相と,再び元の位置に戻る際

図 4

に得られる回帰相の2本の曲線からなり,前者を上昇 曲線,後者を回復曲線と呼ぶことにする。今回の記録 の解析には上昇曲線を用いて以下の2つの指標につい て検討することにした。

1) 粘弾性抵抗 (passive load)

実際の測定曲線を図 3 に示すが、同様の曲線の解析を行った五十嵐ら 9 の方法に準じた。すなわち、上昇曲線は牽引初期には傾きがほぼ一定で直線とみなされるがそれを過ぎると指数関数的に張力が増大する。特に張力 10 g までは直線に近似されたため、張力 0 g と 10 g と を結んだ直線 10 K を作図しその傾き 10 K を作図しその傾き 10 K を作図しその傾き 10 K を作図した。

2) 伸長性 (compliance)

上昇曲線全相について非線形最適化法により y=a

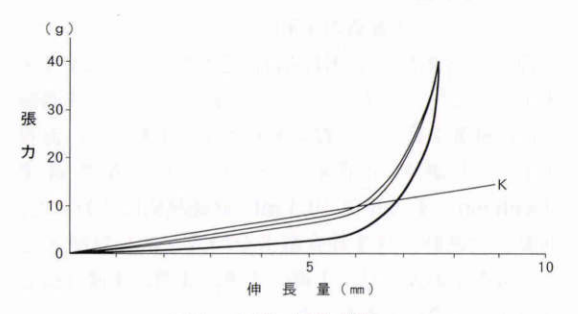
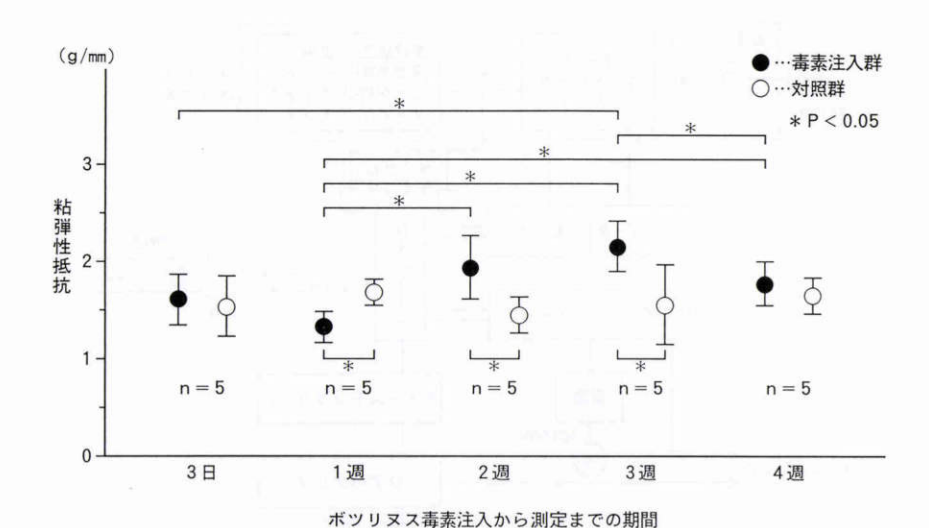


図3 実際の測定曲線.

測定を 2 度行っているため上昇曲線はわずかながら右へのシフトがみられるが,回復曲線はほぼ同一の軌跡をたどっている.直線 K は張力 10 g までの近似直線.



ボツリヌス毒素注入から測定までの期間と粘弾性抵抗。 平均値±標準偏差

 $(e^{bx}-1)$ という指数関数のあてはめを行いうまく近似することができた。この関数は弾性学の分野では生体の軟組織の特徴を表わす式 10 として一般に用いられており、特に定数 b は曲線を決定づける重要な値とされている。この定数 b の逆数をとり伸長性(単位 b mm/ g) の指標とした。

III 結 果

毒素注射の翌日から最終測定日である4週目まで, ほぼ全例に眼瞼下垂を認めた。

測定により得られた伸長一張力曲線は毒素注入群も対照群も指数関数様の曲線を描いた。2度目の測定時には上昇曲線はわずかに右へシフトしたものの,最大張力をかけたときの筋の長さ,および回復曲線はほぼ一致した(図3)。これは毒素注入から測定までの期間によらずほぼ同様の傾向を示した。そこで再現性は得られたものとして1度目の曲線を用いて記録の解析を行った。

1. 粘弹性抵抗 (passive load)

毒素注入群、対照群の粘弾性抵抗 (g/mm) は 3 日目 でそれぞれ 1.62 ± 0.27 (平均値±標準偏差, n=5), 1.54 ± 0.31 , 1 週目 1.33 ± 0.14 , 1.69 ± 0.10 , 2 週目 1.93 ± 0.32 , 1.44 ± 0.18 , 3 週目 2.16 ± 0.26 , 1.55 ± 0.41 , 4 週目 1.77 ± 0.22 , 1.64 ± 0.17 であった。 1 週目で毒素注入群が対照群に比べて統計的に有意に小さかった (t-test, p<0.05). 2 週目,3 週目では逆に有

意に大きかった(t-test, p<0.05)。 3日目,4週目では有意な差はなかった(t-test, p>0.05)(図 4).

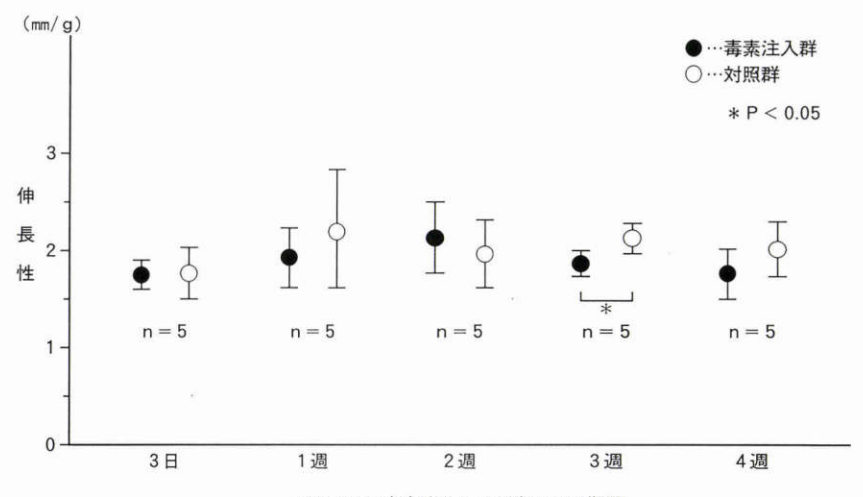
2. 伸長性 (compliance)

毒素注入群,対照群の伸長性 (mm/g) は 3 日目でそれぞれ 1.75 ± 0.13 (平均値±標準偏差, n=5), 1.76 ± 0.27 , 1週目 1.90 ± 0.31 , 2.21 ± 0.60 , 2週目 2.09 ± 0.36 , 1.94 ± 0.35 , 3週目 1.84 ± 0.09 , 2.10 ± 0.15 , 4週目 1.73 ± 0.26 , 1.98 ± 0.29 であった。3週目で毒素注入群が対照群に比べて統計的に有意に小さかった(t-test, p<0.05)。3日, 1週, 2週, 4週目では有意な差はなかった(t-test, p>0.05)(図 5)。

IV 考 按

ボッリヌス毒素はボッリヌス菌(Clostridium botulinum)によって産生される複合蛋白である。その抗原性から A-G の7型が同定,精製されている。この内 A 型毒素は安定した形で結晶させることができ,筋麻痺を起こすのに強い力をもっていると考えられる。いずれの型も神経毒性が強く,ボッリヌス食中毒,乳児ボッリヌス症,創傷ボッリヌス症などが臨床的に知られており,眼科的症状としては視力低下,調節麻痺,外眼筋麻痺,眼瞼下垂,瞳孔散大などが知られている。

ボッリヌス毒素の作用機序としては、神経筋接合部でアセチルコリンの運動神経終末からの遊離を阻止することによると考えられている。この場合、アセチルコリンの放出部位を特異的に封鎖するのではなく、細



ボツリヌス毒素注入から測定までの期間

図5 ボツリヌス毒素注入から測定までの期間と伸長性。 平均値±標準偏差

胞内に進入し酵素的に作用するという Simpson¹¹⁾の 説が有力である。また、神経筋に対する麻痺作用は永 続的でなしに回復がみられることが多く、Duchen¹²⁾は 運動神経末端部からの発芽(sprouting)によると推測 しているが、その詳細は作用機序とともに未だ解明さ れていない。

ボツリヌス毒素の筋肉麻痺作用に注目した Scott¹⁾²⁾は、眼科的に臨床応用することを 1970 年代後半に発表し、以後海外を中心として眼瞼痙攣や斜視の治療における有効性が確認されつつある。 我が国でも岩重ら³)-5)、木村ら⁵)、大庭ら¬を中心として臨床応用が進められつつある。 しかしながら、これらの報告の多くは臨床的なものであったために、 眼筋単独の詳細なデーターを得ることは難しかった。 そこで、今回著者はボッリヌス毒素が外眼筋の張力特性におよぼす影響を明らかにするために、先に報告³)した眼筋張力測定装置を用いて、これまでの報告にみられなかった家兎の外眼筋に毒素を注入し、その後眼球付着部で切り離して張力変化を経時的に測定した。

測定方法および解析方法は第1報®にならうこととした。この測定方法は周囲組織の影響を受けず、本来の筋の作用方向と同一方向に筋を牽引することができるという特徴をもっており、正常白色家兎の上直筋、上斜筋、下直筋、下斜筋の粘弾性抵抗と伸長性については先に報告したところである。また、この第1報では測定条件として弾性限界、ひずみ速度、再現性の観点から検討し、筋肉を牽引する条件として最大張力50g、牽引速度0.2 mm/secで再現性がよいことを確認した。今回はさらに生理的条件に近いと思われる最大張力40g、牽引速度0.2 mm/secという測定条件にした。毒素を注入する筋については、第1報の測定時に結果が安定しており、手術操作が容易と思われる上直筋に限定した。

測定により得られた伸長一張力曲線は非線形であるためにその評価は難しい。毒素注入群、対照群のいずれも注入から測定までの期間によらず、ほぼ同様の曲線を描いたため同一のモデル関数で評価できると考えた。そこで上昇曲線のうちほぼ直線とみなされる部分にはy=kx、曲線全体としてはy=a ($e^{bx}-1$) という関数をあてはめ評価することにしたのである。

まず、比例定数kを指標とした粘弾性抵抗については、五十嵐ら 9 のように変曲点をもった曲線であれば容易に近似直線Kを引き、その傾きkを求めることができるであろうが、著者のデータのように変曲点をも

たない場合、必ずしもうまく近似できたとはいえないかもしれない。しかし、明らかに筋が弾性として機能している範囲内であり客観性をもたせるために、張力 $10\,g$ までは Hooke の法則に従うとみなし比例定数 k を求め粘弾性抵抗として評価した。この比例定数 k は力学的にはヤング率、あるいはバネ定数とも呼ばれ弾性体の性質を表わす指標で、実際に我々が手術時に感じる手ごたえは主にこの粘弾性抵抗であるといえよう。

毒素注入から3日目では対照群との間に有意な差は なかったが、1週目では対照群より粘弾性抵抗が有意 に小さかった。ところが、2週目、3週目になると逆 に対照群より有意に大きいという結果が得られた. そ して、4週目になると再び対照群と有意な差がなく なった. この結果の解釈にあたっては筋線維,神経筋 接合部を組織学的に検索した向野ら13), Spencer ら14) の報告が参考になる。 すなわち、サルの内直筋にボッ リヌスA型毒素を注射した向野ら13)は、注入から6日 後に注射部位に一致して筋の萎縮があったとし、円形 細胞の浸潤を認めたとしている。そして、注射から45 日目には筋の萎縮はなく、細胞浸潤も認められないが、 神経一筋接合部に近接して薄化した有髄神経線維およ び発芽を認めたと述べている.一方,同様にサルの内 直筋にボツリヌスA型毒素を注射したSpencerら14) は、毒素注入から14日目に筋線維の中心部のミトコン ドリアが周辺部に分散したことによる筋線維の肥厚を 認めたとしている。そして、35日目には発芽を認め、 42~56 日目には筋線維はほぼ正常化したと述べてい る. これらの報告を著者の結果にあてはめると、1週 目でみられた張力低下は筋の萎縮によると考えられ, 2週目、3週目の逆転は筋線維の肥厚が、そして、4 週目で有意差がなかったのは発芽による、と考えるの が妥当ではないであろうか。 ネコの外眼筋にボツリヌ ス A 型毒素を注射し、サクシニルコリンで収縮させ張 力を測定した Dennehy ら15)もほぼ同様の考察をして いる. その一方で, 臨床的には1週前後で張力の低下 がみられ、その傾向が約3か月以上続くとされてい る3)~7)。これらは患者に能動的に筋の収縮を促した張 力 (active force) であり、著者のように受動的に筋を 伸長させた張力 (passive load) とは性質が異なるだけ に一概に比較はできないが, 張力の経時的な変化に差 がみられたという点で大変興味深いところである.

また,上昇曲線全体は先に与えた指数関係 y=a (e^{bx}-1) にうまく近似できた。生体軟組織のうち大動

脈, 腸間膜, 皮膚, 尿管, 心筋などはこの指数関数に 従うことが知られており100, 今回著者が記録した曲線 がうまく近似できたということは測定の妥当性を物 語っているといえよう. この指数関数は主に定数 b に よって規定され、わずかな曲線の違いも正確に定数 b に反映される。定数 b は曲線全体の特徴を表わし、そ の逆数 1/b は一定張力となる時の変位量を示すこと から 1/b を伸長性 (compliance) の指標とした。毒素 注入から3週目で対照群に比べ有意に小さかったが、 3日, 1週, 2週, 4週目では有意な差はなかった。 3週目で伸長性が小さかったのは、粘弾性抵抗のとこ ろでも述べたように筋線維の肥厚が最も考えられる. しかし、張力10gまでを評価した粘弾性抵抗に対して 1週目,2週目でも有意差がみられなかったことから、 曲線全体からみるとボツリヌス毒素の影響はそれほど 大きいものではないと思われる。 言い替えれば、本毒 素はどちらかと言えば張力の小さな部分の微細な筋線 維の組成に影響を与えやすいのではなかろうか.

最後に、粘弾性抵抗および伸長性で得られた有意差は、純粋に筋肉の張力特性の変化を示唆しているのか、それとも手術操作を含めた測定系の要因によるのかは明らかではない。しかしながら、ボツリヌス毒素が眼筋の張力特性に変化を与えることは確かであろう。その場合の眼筋張力変化は、注入から1週前後で発現し経時的に変化するということが明らかになった。この結果を踏まえて、臨床的には眼瞼痙攣や斜視などの治療にボツリヌス毒素の応用が期待される。

稿を終えるにあたり、御懇篤なる御指導、御校関いただいた恩師松尾信彦教授に深謝いたします。また直接御指導いただいた大月 洋助教授、ボッリヌス毒素(Oculinum)を快く提供して下さった帝京大学眼科岩重博康助教授、多大なる技術援助を頂いた三菱電機中央研究所武谷知明氏に感謝します。本論文の要旨は第96回日本眼科学会総会にて発表した。

文 献

- Scott AB: Botulinum toxin injection into extraocular muscles as an alternative to strabismus surgery. Ophthalmology 87: 1044 —1049, 1980.
- Scott AB: Botulinum toxin injection of the eye muscles to correct strabismus. Trans Am Ophthalmol Soc 79: 734—770, 1981.
- 3) 岩重博康, 丸尾敏夫:ボツリヌスA型毒素

- (Oculinum)による斜視治療, 日眼会誌 90:1366 -1374,1986.
- 岩重博康,赤津史郎,丸尾敏夫: Botulinum A型 毒素(Oculinum) による眼性頭位異常の治療。眼 臨 81:951-961, 1987.
- 5) 岩重博康:ボツリヌストキシンの治療への応用。 筒井 純(編):眼科 Mook 35 神経眼科最近の 進歩、金原出版、東京、126-136、1987.
- 6) 木村 久, 筒井 純, 深井小久子, 早川友恵: ボッリヌストキシン療法と斜視手術 -- ボッリヌストキシンの注入量の検討 -- 臨眼 83: 2298-2300, 1989.
- 7) 大庭正裕,大井利明,五十嵐保男:国産A型ボッリヌストキシンによる眼科的臨床応用。眼科手術5:63-69,1992.
- 8) 岡野正樹: 外眼筋の機械的特性に関する研究。第 1報. 白色家兎における受動的伸長一張力特性。日 眼会誌 96:295-301,1992。
- 9) 五十嵐保男, 竹田 真, 沢 正博: 覚醒下における 正常ヒト外眼筋の機械的特性に関する研究. 札幌 医誌 54:569-581, 1985.
- 10) **岡 小天**: レオロジー―生物レオロジー―。常華 房, 東京, 454―456, 1974.
- Simpson LL: Molecular pharmacology of Botulinum toxin and tetanus toxin. Ann Rev Pharmacol Toxicol 26: 427, 1986.
- 12) Duchen LW: An electron microscopic study of the changes induced by botulinum toxin in the motor end-plates of slow and fast skeletal muscle fibers of the mouse. J Neurol Sci 14: 47 —60, 1971.
- 13) Mukuno K, Scott AB, Ishikawa S: Histopathological study on the monkey extraocular muscles under botulinum toxin injection. In: Reinecke RD (Ed): Strabismus II: Proceedings of the Fourth Meeting of The International Strabismological Association, October 25—29, 1982, Grune & Stratton, Asilomar, California, Orlando, 707—710, 1984.
- 14) Spencer RF, McNeer KW: Botulium toxin paralysis of adult monkey extraocular muscle. Structural alterations in orbital, singly innervated muscle fibers. Arch Ophthalmol 105:1703 —1711, 1987.
- 15) Dennehy PJ, Lingua RW, Li KF, Hernandez E, Feuer W: Succinylcholine-stimulated muscle tensions following botulinum injection in the domestic cat. Exp Eye Res 52: 445—449, 1991.